

| RE051-17-102238-1 Ed. 2

| Ce rapport annule et remplace le rapport RE051-17-102238-1 Ed. 1

Rapport d'essai DAS

Selon la norme:
EN 62209-2 : 2010
Mesures rapides

Equipement en test:
Téléphone mobile 2G, 3G et 4G
SONY XPERIA XA ULTRA

N° d'ordre du prélèvement: COM075170001-01

Société:
AGENCE NATIONALE DES FREQUENCES

DIFFUSION : Département Surveillance du marché Société : ANFR

Nombre de pages : 32 dont 3 annexes

| Ed. | Date | Page(s) modifiée(s) | Vérification Technique Approbation Qualité | |
|-----|------------|------------------------|---|------|
| | | | Nom-Fonction | Visa |
| 2 | 20/12/2017 | 1 et 4 | G.HYAUMET- Responsable d'entité technique | |

La reproduction de ce rapport d'essais n'est autorisée que sous sa forme intégrale. Il comporte le nombre de pages référencé ci-dessus. Le présent document résulte d'essais sur un spécimen, une éprouvette ou un échantillon d'un produit. Il ne préjuge pas de la conformité de l'ensemble des produits fabriqués à l'échantillon essayé.



DESIGNATION DE L'EQUIPEMENT EN ESSAI :

Référence: SONY XPERIA XA ULTRA
Numéro de série (S/N) : IMEI 1: 356059072465988
Numéro de pièce (P/N) : -
N° d'ordre du prélèvement: COM075170001-01

COORDONNEES DE LA SOCIETE PRESENTANT L'EQUIPEMENT :

Société : Agence Nationale des Fréquences
DCS/SM
Pôle Technique de Saint-Dié

Adresse : 4 rue Alphonse Matter
88108 Saint-Dié-des-Vosges Cedex
France

DATE(S) DE L'ESSAI : 12, 13, 24 et 26 Avril 2017
02 Mai 2017

LIEU(X) DE(S) ESSAI(S) : EMITECH Le Mans
9, rue Maurice Trintignant
72100 Le Mans
France

REALISATEUR DE L'ESSAI : Emmanuel TOUTAIN

SOMMAIRE

| | |
|---|-----------|
| 1. INTRODUCTION | 4 |
| 2. SYNTHÈSE DES RÉSULTATS | 4 |
| 3. DOCUMENTS DE REFERENCE | 5 |
| 4. CONDITIONS D'ESSAIS DE L'EQUIPEMENT | 6 |
| 5. CONDITIONS ENVIRONNEMENTALE | 6 |
| 6. CONFIGURATION DE L'EQUIPEMENT EN ESSAI | 6 |
| 7. PRESENTATION DU BANC DE MESURE DAS | 9 |
| 8. EVALUATION DE LA VALEUR DE CRETE SPATIALE DU DAS | 10 |
| 9. MESURE DU LIQUIDE: CONDITIONS D'ESSAIS & RESULTATS | 11 |
| 10. INCERTITUDES DE MESURE | 13 |
| 11. VERIFICATION DU SYSTEME : CONDITIONS D'ESSAIS & RESULTATS | 15 |
| 12. RÉSULTATS DE MESURE | 16 |
| 13. EQUIPEMENTS UTILISES POUR L'ESSAI | 18 |
| ANNEXE A : VERIFICATION DU SYSTEME : CONDITIONS D'ESSAIS & RESULTATS | 19 |
| ANNEXE B : REPRESENTATIONS GRAPHIQUES DU BALAYAGE | 24 |
| ANNEXE C PHOTOGRAPHIES DE L'EQUIPEMENT EN ESSAI | 32 |

1. INTRODUCTION

Dans ce rapport d'essais, les mesures du Débit d'Absorption Spécifique (DAS) du dispositif de communications sans fil SONY XPERIA XA ULTRA sont présentées.

Les dispositifs techniques de gestion de la puissance émise, propres au téléphone testé, ont été pris en compte pour effectuer les essais de l'évaluation de conformité aux exigences essentielles.

Le rapport d'essai ne peut être reproduit ou publié que dans son intégralité. L'autorisation écrite préalable d'Emitech est requise pour toute reproduction ou publication se limitant à des extraits de ce rapport.

2. SYNTHÈSE DES RÉSULTATS

| DAS_{10g} maximum mesuré dans le corps (W/kg) | | | |
|--|---------------|--------------|--------|
| Bande de fréquence: | Distance (mm) | mesuré | limite |
| GSM-GPRS 900 | 15 | 0,321 | 2 |
| GSM-GPRS 1800 | 15 | 0,185 | 2 |
| WCDMA 900 | 15 | 0,239 | 2 |
| WCDMA 2100 | 15 | 0,202 | 2 |
| LTE 800 | 15 | 0,178 | 2 |
| LTE 1800 | 15 | 0,175 | 2 |
| LTE 2600 | 15 | 0,136 | 2 |
| Valeur DAS maximum mesurée : | 15 | 0,321 | 2 |

Summary of results

| Maximum SAR_{10g} value measured body (W/kg) | | | |
|---|---------------|--------------|-------|
| Frequency band : | Distance (mm) | measured | limit |
| GSM-GPRS 900 | 15 | 0,321 | 2 |
| GSM-GPRS 1800 | 15 | 0,185 | 2 |
| WCDMA 900 | 15 | 0,239 | 2 |
| WCDMA 2100 | 15 | 0,202 | 2 |
| LTE 800 | 15 | 0,178 | 2 |
| LTE 1800 | 15 | 0,175 | 2 |
| LTE 2600 | 15 | 0,136 | 2 |
| Maximum SAR value measured: | 15 | 0,321 | 2 |

3. DOCUMENTS DE REFERENCE

Les documents de référence appelés tout au long de ce rapport sont ceux cités ci-dessous. Ils s'appliquent pour l'ensemble du rapport bien que les extensions (version, date et amendement) ne soient pas rappelées.

| Référence | Titre du document | Date |
|-------------|--|------|
| EN 62209-2 | Exposition humaine aux champs radio fréquence produits par les dispositifs de communications sans fils tenus à la main ou portés près du corps. Modèles du corps humain, instrumentation et procédures. Partie 2 : procédure pour la détermination du débit d'absorption spécifique produit par les dispositifs de communications sans fils utilisés très près du corps humain (gamme de fréquence de 30 MHz à 6 GHz) (CEI 62209-2: 2010 + Corrigendum) | 2010 |
| EN 50566 | Norme produit pour démontrer la conformité des champs radiofréquence produits par les dispositifs de communication sans fil tenus à la main ou portés près du corps (30 MHz – 6 GHz), AC: 2014 | 2013 |
| 1999/519/CE | Recommandation du conseil du 12 juillet 1999 relative à la limitation de l'exposition du public aux champs électromagnétiques (de 0 Hz à 300 GHz) | 1999 |

Selon la recommandation du Conseil Européen 1999/519/EEC (1999-07) du 12 juillet 1999 sur la limitation des expositions de la population générale aux champs électromagnétiques (0 Hz à 300 GHz) (journal officiel L 199 du 30 juillet 1999):

La limite appliquée dans ce rapport est inscrite en caractères gras et correspond au DAS localisé « tronc ».

| Exposition humaine | Restriction de base pour les champs électriques, magnétiques et électromagnétiques |
|--|--|
| DAS volumique crête * (tête et tronc) | 2,00 W/kg |
| DAS volumique moyen ** (corps entier) | 0,08 W/kg |
| DAS volumique crête *** (membres) | 4,00 W/kg |

Tableau 1: Limites d'exposition aux champs radioélectriques

Notes:

* La valeur volumique crête du DAS moyennée sur 10 grammes de tissu (défini comme un volume cubique) et sur le temps d'intégration approprié.

** La valeur volumique moyenne sur le corps complet.

*** La valeur volumique crête moyennée sur 10 grammes de tissu (défini comme un volume cubique) et sur le temps d'intégration approprié.

4. CONDITIONS D'ESSAIS DE L'EQUIPEMENT

L'équipement est contrôlé durant l'essai au moyen de la plateforme n° 1 (Simulateur de BTS) référencée au paragraphe 13 de ce rapport d'essai. Ces conditions d'essais sont communiquées à titre d'information ; les puissances maximales n'ont pas été mesurées.

Norme: GSM (900 & 1800 MHz)
Facteur crête: 2.07 (GPRS 4 intervalles de temps Tx)
Modulation: GMSK
Puissance maximale: GSM 900 Classe 4: Niveau Tx 5 = 33 dBm (\pm 2dB)
GSM 1800 Classe 1: Niveau Tx 0 = 30 dBm (\pm 2dB)

Norme: WCDMA (900 & 2100 MHz)
Facteur crête: 1
Modulation: QPSK
Puissance maximale: Classe 3 = 24 dBm (+1dB,-3dB)
Configuration: Mode RMC 12.2kbps avec tous les bits TPC à "1"

Norme: LTE (800, 1800 & 2600 MHz)
Facteur crête: 1
Modulation: QPSK
Puissance maximale: Class 3 = 23 dBm (\pm 2dB)

5. CONDITIONS ENVIRONNEMENTALE

| Condition | Valeur mesurée |
|------------------------|---|
| Température du liquide | <i>Voir représentations graphiques du DAS et §9</i> |
| Température ambiante | <i>Voir représentations graphiques du DAS et §9</i> |

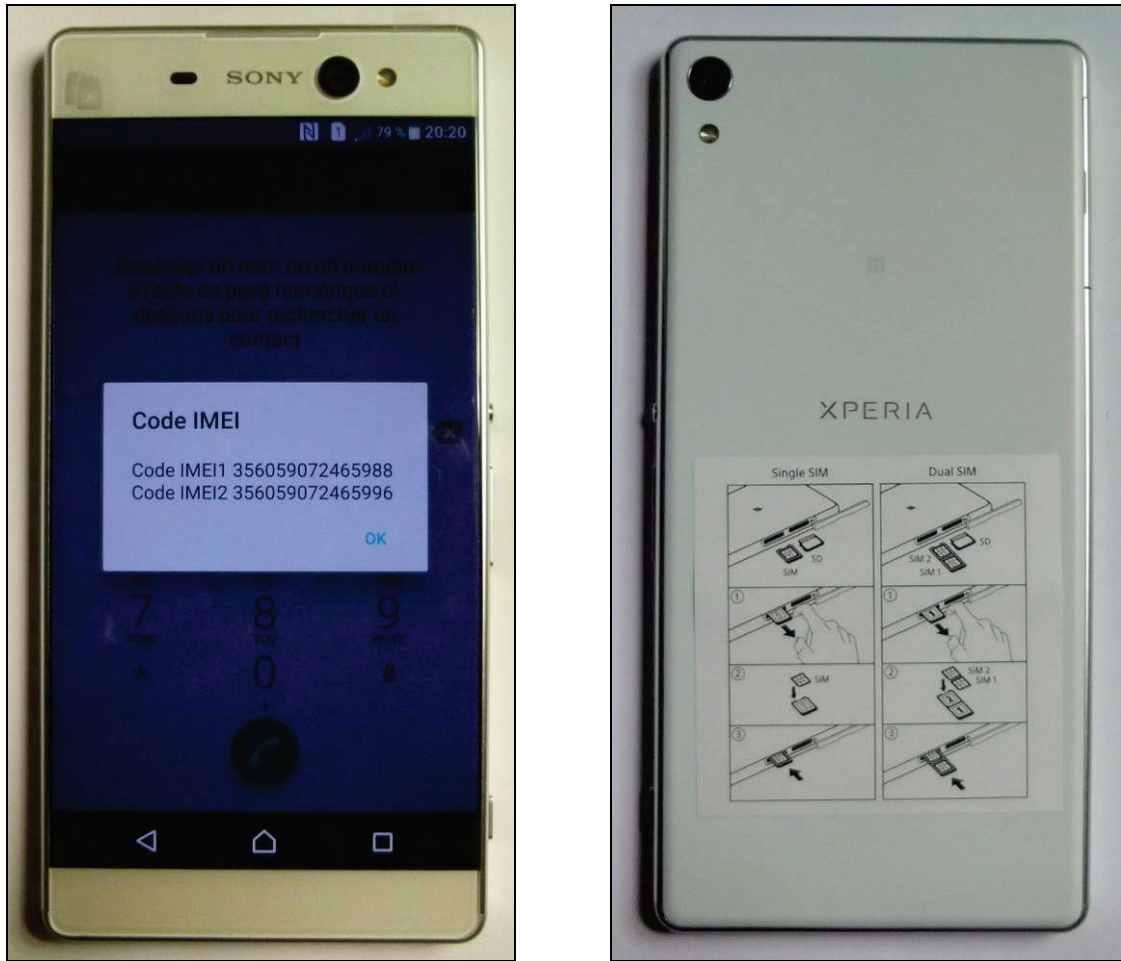
6. CONFIGURATION DE L'EQUIPEMENT EN ESSAI

La photographie du téléphone mobile SONY XPERIA XA ULTRA est montrée en Fig. 1. Le standard utilisé est le GSM dans la bande de fréquence 900MHz et 1800MHz, le WCDMA dans la bande de fréquence 900MHz et 2100MHz et le LTE dans la bande de fréquence 800MHz, 1800MHz et 2600MHz. L'antenne est intégrée.

Cet équipement a été reçu sous scellé. Un test fonctionnel a été effectué avec succès.



Équipement reçu sous scellé



Face avant et face arrière



Marquage du produit

Fig. 1 : Photographies de l'équipement en essai

7. PRESENTATION DU BANC DE MESURE DAS

Le système de balayage de champ proche automatisé DASY4 de Schmid & Partner Engineering AG a été utilisé. Les équipements du banc de mesure DAS sont décrits dans le paragraphe 13 de ce rapport d'essais à la plateforme n° 2 (DASY4). Le système de mesure est constitué d'un PC associé à une électronique d'acquisition et à contrôleur de robot, d'une robotique de haute précision, d'une sonde de mesure de champ proche ainsi que d'un fantôme contenant les matériaux liquides. Le robot 6 axes positionne précisément la sonde de champ proche afin de mesurer la distribution interne du champ E. L'équipement en test est placé sous le fantôme à l'aide d'un positionneur à faible perte. Les mesures ont été conduites dans un environnement RF contrôlé (c'est-à-dire dans une chambre semi-anéchoïque). La figure 2 montre le système de mesure.

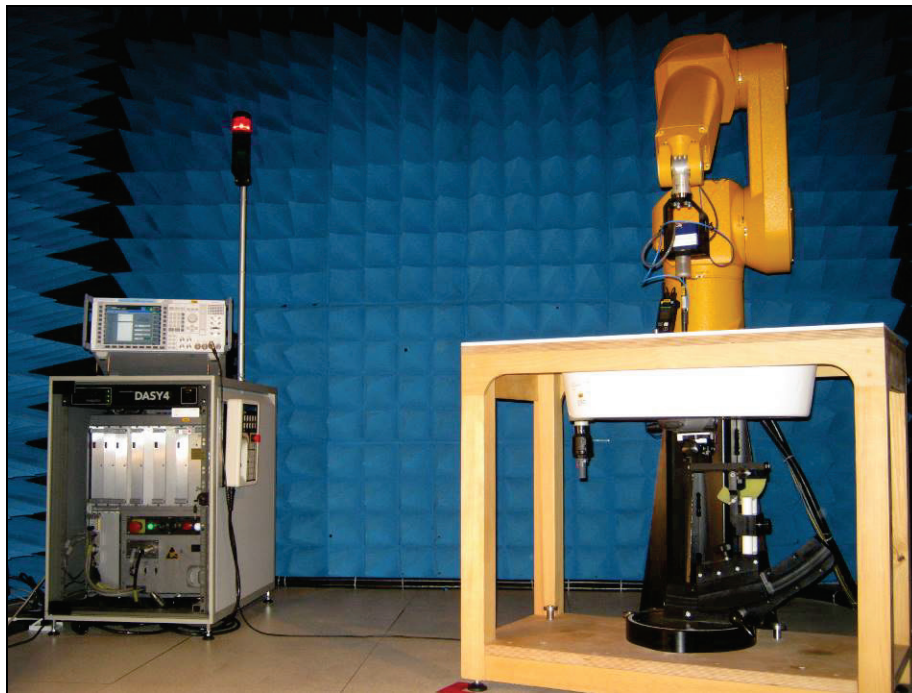


Fig. 2 : Le système de mesure avec un équipement en test

8. EVALUATION DE LA VALEUR DE CRETE SPATIALE DU DAS

D'après Schmid & Partner Engineering AG [DASY4 Manual, March 2003, Application Note: Spatial Peak SAR Evaluation].

DAS de crête spatiale

Le logiciel DASY4 inclut toutes les procédures numériques nécessaires pour évaluer les valeurs de crête spatiale de DAS.

La valeur de crête spatiale de DAS peut être calculée sur tout volume requis.

La base de l'évaluation est une mesure de "cube" dans un volume de 30mm³ (7x7x7 points). Le volume mesuré comprend les cubes de 1g ou 10g avec les valeurs les plus élevées de DAS moyen. À cette fin, le centre du volume mesuré est aligné sur la valeur interpolée du DAS de crête de la zone de balayage précédemment effectuée. L'évaluation totale des valeurs de crête spatiale est effectuée avec le logiciel de post-traitement (SEMCAD). Le système donne toujours les valeurs maximales pour les cubes de 1g ou 10g. L'algorithme pour trouver le cube avec le DAS moyen le plus élevé est divisé selon les étapes suivantes:

1. Extraction des données mesurées (grille et valeurs) à partir du balayage-zoom,
2. Calcul de la valeur du DAS à chaque point de mesure basé sur toutes les données stockées (valeurs A/N et paramètres de mesure),
3. Génération d'un maillage à haute résolution dans le volume mesuré,
4. Interpolation de toutes les valeurs mesurées à partir de la grille de mesure vers le maillage à haute résolution,
5. L'extrapolation de l'ensemble de la distribution 3D du champ mesuré à la surface du fantôme à la distance des capteurs dipôles,
6. Calcul du DAS moyen dans 1g ou 10g.

Interpolation, extrapolation et détection du maximum

La sonde est étalonnée au centre des capteurs dipôles qui se trouve à 2mm de l'extrémité de la sonde. Lors des mesures, les capteurs dipôles se positionnent à 3mm au-dessus de la surface du fantôme. Ces deux distances sont incluses en tant que paramètre de la sonde dans le fichier de configuration. Le logiciel sait toujours exactement quelle est la distance entre le point mesuré et la surface du fantôme. La sonde ne mesurant pas directement à la surface, les valeurs entre les points mesurés et la surface doivent être extrapolés.

Les routines d'interpolation, d'extrapolation et de recherche du maximum sont basées sur la méthode quadratique modifiée de Shepard [Robert J. Renka, "Multivariate Interpolation Of Large Sets Of Scattered Data", University of North Texas ACM Transactions on Mathematical Software, vol. 14, no. 2, June 1988, pp. 139-148.].

Détermination de la valeur de crête spatiale du DAS

Les données interpolées sont utilisées pour déterminer la valeur moyenne de DAS dans 1g ou 10g en discrétisant spatialement la totalité du volume mesuré. La résolution de cette grille spatiale utilisée pour le calcul du DAS moyen est de 1 mm, soit environ 42875 points interpolés. Les volumes qui en résultent sont définis comme des volumes cubiques contenant les paramètres appropriés du tissu qui sont centrés sur l'emplacement. L'emplacement est défini comme le centre du volume incrémentiel (voxel).

9. MESURE DU LIQUIDE: CONDITIONS D'ESSAIS & RESULTATS

La mesure des liquides est effectuée au moyen de la plateforme n° 3 (Mesure du liquide) référencée au paragraphe 13 de ce rapport d'essai. Les mélanges suivants sont donnés en pourcentage de poids, ils sont théoriques et communiqués à titre d'information.

Liquide 800-900 MHz: Saccharose 56.50 %
Eau dé ionisée 40.92 %
Sel NaCl 1.48 % - HEC 1.00 % - Bactéricide 0.10 %

Liquide 1800 MHz: Di-éthylène glycol mono-butyle éther 44.92 %
Eau dé ionisée 54.90 %
Sel NaCl 0.18 %

Liquide 1950 MHz: Di-éthylène glycol mono-butyle éther 45.00 %
Eau dé ionisée 55.00 %

Liquide 2450 MHz: Di-éthylène glycol mono-butyle éther 7.99 %
Eau dé ionisée 71.88 %
Triton X-100 19.97 %
Sel NaCl 0.16 %

Les paramètres diélectriques du liquide ont été contrôlés avant la qualification (méthode de la sonde de contact).

Propriétés diélectriques mesurées (bandes GSM et WCDMA):

| Fréquences (MHz) | ϵ_r (F/m) | ϵ_r (F/m) | σ (S/m) | σ (S/m) | Température du liquide (°C) | Température ambiante (°C) |
|------------------|--------------------|--------------------|----------------|----------------|-----------------------------|---------------------------|
| | Valeur cible | Valeur mesurée | Valeur cible | Valeur mesurée | | |
| 880 | 41.5 ± 5 % | 40.9 | 0.95 ± 5 % | 0.94 | 20.2 | 22.5 |
| 895 | 41.5 ± 5 % | 40.8 | 0.96 ± 5 % | 0.95 | | |
| 900 | 41.5 ± 5 % | 40.7 | 0.97 ± 5 % | 0.96 | | |
| 915 | 41.5 ± 5 % | 40.7 | 0.97 ± 5 % | 0.97 | | |
| 1710 | 40.1 ± 5 % | 38.4 | 1.34 ± 5 % | 1.34 | 20.1 | 21.1 |
| 1750 | 40.1 ± 5 % | 38.3 | 1.37 ± 5 % | 1.36 | | |
| 1785 | 40.0 ± 5 % | 38.1 | 1.39 ± 5 % | 1.41 | | |
| 1800 | 40.0 ± 5 % | 38.0 | 1.40 ± 5 % | 1.43 | | |
| 1920 | 40.0 ± 5 % | 38.4 | 1.40 ± 5 % | 1.39 | 20.8 | 22.0 |
| 1950 | 40.0 ± 5 % | 38.3 | 1.40 ± 5 % | 1.41 | | |
| 1980 | 40.0 ± 5 % | 38.2 | 1.40 ± 5 % | 1.42 | | |

Propriétés diélectriques mesurées (bandes LTE):

| Fréquences (MHz) | ϵ_r (F/m) | ϵ_r (F/m) | σ (S/m) | σ (S/m) | Température du liquide (°C) | Température ambiante (°C) |
|------------------|--------------------|--------------------|----------------|----------------|-----------------------------|---------------------------|
| | Valeur cible | Valeur mesurée | Valeur cible | Valeur mesurée | | |
| 835 | 41.5 ± 5 % | 40.4 | 0.90 ± 5 % | 0.87 | 18.5 | 21.0 |
| 840 | 41.5 ± 5 % | 40.4 | 0.91 ± 5 % | 0.87 | | |
| 845 | 41.5 ± 5 % | 40.2 | 0.91 ± 5 % | 0.88 | | |
| 850 | 41.5 ± 5 % | 40.1 | 0.92 ± 5 % | 0.88 | | |
| 860 | 41.5 ± 5 % | 40.0 | 0.93 ± 5 % | 0.89 | | |
| 1710 | 40.1 ± 5 % | 38.4 | 1.34 ± 5 % | 1.34 | 20.1 | 21.1 |
| 1715 | 40.1 ± 5 % | 38.4 | 1.35 ± 5 % | 1.35 | | |
| 1720 | 40.1 ± 5 % | 38.4 | 1.35 ± 5 % | 1.35 | | |
| 1745 | 40.1 ± 5 % | 38.3 | 1.36 ± 5 % | 1.36 | | |
| 1750 | 40.1 ± 5 % | 38.3 | 1.37 ± 5 % | 1.36 | | |
| 1775 | 40.0 ± 5 % | 38.1 | 1.38 ± 5 % | 1.40 | | |
| 1780 | 40.0 ± 5 % | 38.1 | 1.38 ± 5 % | 1.41 | | |
| 1785 | 40.0 ± 5 % | 38.1 | 1.39 ± 5 % | 1.41 | | |
| 1800 | 40.0 ± 5 % | 38.0 | 1.40 ± 5 % | 1.43 | 20.0 | 21.5 |
| 2500 | 39.1 ± 5 % | 37.6 | 1.86 ± 5 % | 1.92 | | |
| 2510 | 39.1 ± 5 % | 37.5 | 1.87 ± 5 % | 1.93 | | |
| 2535 | 39.1 ± 5 % | 37.4 | 1.89 ± 5 % | 1.96 | | |
| 2560 | 39.1 ± 5 % | 37.3 | 1.92 ± 5 % | 1.98 | | |
| 2565 | 39.0 ± 5 % | 37.2 | 1.93 ± 5 % | 1.99 | | |
| 2600 | 39.0 ± 5 % | 37.2 | 1.96 ± 5 % | 2.03 | | |

10. INCERTITUDES DE MESURE

L'incertitude élargie maximale avec un intervalle de confiance de 95 % ne doit pas excéder 30 % pour les valeurs de DAS de crête spatial moyen, dans la gamme de 0,4 W/kg à 10 W/kg.

L'incertitude de mesure a été évaluée selon la norme EN 62209-2 incluant la méthode de mesure rapide. L'incertitude élargie est ± 26.4 %.

| SOURCES D'ERREUR | Valeur d'incertitude (%) | Distribution de probabilité | Diviseur | Ci | Incertitude type (%) |
|---|--------------------------|-----------------------------|----------|------|----------------------|
| Système de mesure | | | | | |
| Etalonnage de la sonde | ± 6.7 | Normale | 1 | 1 | ± 6.7 |
| Isotropie axiale | ± 4.7 | Rectangulaire | √3 | 1 | ± 2.7 |
| Isotropie hémisphérique | ± 9.6 | Rectangulaire | √3 | 1 | ± 5.5 |
| Linéarité | ± 4.7 | Rectangulaire | √3 | 1 | ± 2.7 |
| Réponse en modulation de la sonde | ± 2.4 | Rectangulaire | √3 | 1 | ± 1.4 |
| Limite de détection | ± 1.0 | Rectangulaire | √3 | 1 | ± 0.6 |
| Effet de bord | ± 1.0 | Rectangulaire | √3 | 1 | ± 0.6 |
| Lectures électroniques | ± 0.3 | Normale | 1 | 1 | ± 0.3 |
| Temps de réponse | ± 0.8 | Rectangulaire | √3 | 1 | ± 0.5 |
| Temps d'intégration | ± 2.6 | Rectangulaire | √3 | 1 | ± 1.5 |
| Conditions RF ambiantes - environnement | ± 3.0 | Rectangulaire | √3 | 1 | ± 1.7 |
| Conditions RF ambiantes - réflexions | ± 3.0 | Rectangulaire | √3 | 1 | ± 1.7 |
| Restrictions mécaniques au positionnement de la sonde | ± 0.4 | Rectangulaire | √3 | 1 | ± 0.2 |
| Positionnement de la sonde par rapport à l'enveloppe du fantôme | ± 2.9 | Rectangulaire | √3 | 1 | ± 1.7 |
| Traitement de données – Mesures rapides | ± 6.0 | Rectangulaire | √3 | 1 | ± 3.5 |
| Echantillon en essai | | | | | |
| Incertitude du support d'appareil | ± 3.6 | Normale | 1 | 1 | ± 3.6 |
| Position de l'échantillon | ± 2.9 | Normale | 1 | 1 | ± 2.9 |
| Mise à l'échelle de la puissance | ± 0.0 | Rectangulaire | √3 | 1 | ± 0.0 |
| Dérive de l'alimentation | ± 5.0 | Rectangulaire | √3 | 1 | ± 2.9 |
| Fantôme et montage | | | | | |
| Incertitude du fantôme (tolérances des formes et d'épaisseur) | ± 7.5 | Rectangulaire | √3 | 1 | ± 4.3 |
| Algorithme de correction du DAS par rapport aux écarts de permittivité et de conductivité | ± 1.9 | Normale | 1 | 0.84 | ± 1.6 |
| Conductivité du liquide (mesure) | ± 2.5 | Normale | 1 | 0.71 | ± 1.8 |
| Permittivité du liquide (mesure) | ± 2.5 | Normale | 1 | 0.26 | ± 0.7 |
| Permittivité du liquide – incertitude de température | ± 1.9 | Rectangulaire | √3 | 0.71 | ± 0.8 |
| Conductivité du liquide – incertitude de température | ± 2.8 | Rectangulaire | √3 | 0.26 | ± 0.4 |
| Incertitude type composée | | | | | |
| | | | | | ± 13.2 |
| Incertitude élargie (intervalle de confiance de 95%) | | | | | |
| | | | | | ± 26.4 |

11. VERIFICATION DU SYSTEME : CONDITIONS D'ESSAIS & RESULTATS

La vérification du système est effectuée au moyen de la plateforme n° 4 (Vérification du système) référencée au paragraphe 13 de ce rapport d'essai.

Conditions de mesure: Les mesures ont été réalisées dans le fantôme plan rempli avec le liquide. La puissance d'entrée dans le dipôle de validation est 250mW. Avant chaque qualification, le dipôle de référence est utilisé pour vérifier que le système fonctionne selon ses spécifications à $\pm 10\%$.

Résultats des mesures :

| Fréquences (MHz) | DAS 10g (W/kg) | DAS 10g (W/kg) |
|---------------------|-------------------|-------------------|
| | Valeur cible | Valeur mesurée |
| 835 | $1.55 \pm 10\%$ | 1.50 |
| 900 | $1.725 \pm 10\%$ | 1.71 |
| 1800 | $4.95 \pm 10\%$ | 4.98 |
| 1950 | $5.225 \pm 10\%$ | 5.18 |
| 2600 | $6.15 \pm 10\%$ | 6.19 |

Les résultats détaillés figurent en annexe A.

12. RÉSULTATS DE MESURE

L'essai complet selon la norme EN 62209-2 n'est pas requis par le client ; les mesures ont été conduites selon le programme d'essai défini par le client et détaillé ici en utilisant une méthode de mesure rapide.

La puissance de sortie et la fréquence de l'équipement en test sont contrôlées en utilisant un simulateur de station de base. L'équipement en test est réglé par le biais du simulateur pour transmettre à son niveau de puissance de sortie de crête le plus élevé. Le réseau de test par défaut est MCC = 001 sur SIM1.

Les mesures ont été conduites pour les faces avant et arrière à 1.5 cm du fantôme. Pour la configuration la plus défavorable, les canaux bas et haut pour chaque bande de fréquence ont été mesurés.

L'équipement en test est soumis à essai pour la fréquence centrale de chaque bande de transmission. La mesure du niveau de DAS a été conduite en mode GPRS en GSM (soit 4 intervalles de temps Tx, c'est-à-dire la configuration la plus défavorable selon la méthode de recherche du maximum tel que défini pour le standard LTE, note: le GPRS est classe 12) et en mode RMC 12.2kbps en WCDMA. En LTE, seule la configuration la plus défavorable (BW-RB en QPSK) a été testée. La configuration la plus défavorable a été définie en mesurant la distribution du DAS à deux dimensions dans le fantôme (procédure du balayage de zone) afin d'identifier la position de la valeur maximale du DAS. Une mesure du niveau de champ en ce point d'essai situé à une distance de 3 mm de la surface interne du fantôme a été conduite pour les différentes configurations de BW et RB afin de déterminer la configuration d'essai la plus défavorable ; essai conduit selon les valeurs à sélectionner pour la bande passante et la fréquence, ainsi que les détails sur les allocations de RB, définis dans le standard 3GPP TS 36.521-1, § 6.2.2, Tableau 6.2.2.4.1-1.

Une méthode de mesure rapide a été utilisée en réduisant le nombre de point de mesure: Balayage-Zoom avec un pas de grille en x et y de 10mm et en z de 7mm (taille du cube: 30mm x 30mm x 28mm).

Résultat des mesures pour le GSM900 (Valeurs DAS moyennées dans 10g) :

| Position d'essai | DAS 10g (W/kg) | | |
|--|------------------------|------------------------|------------------------|
| | Canal 975 880.2 MHz | Canal 038 897.6 MHz | Canal 124 914.8 MHz |
| GPRS 4 intervalles de temps Tx A 1.5cm du fantôme | | | |
| Face avant | - | 0.241 | - |
| Face arrière | 0.249 | 0.321 | 0.294 |

Résultat des mesures pour le GSM1800 (Valeurs DAS moyennées dans 10g) :

| Position d'essai | DAS 10g (W/kg) | | |
|--|-------------------------|-------------------------|-------------------------|
| | Canal 512 1710.2 MHz | Canal 699 1747.6 MHz | Canal 885 1784.8 MHz |
| GPRS 4 intervalles de temps Tx A 1.5cm du fantôme | | | |
| Face avant | 0.0902 | 0.110 | 0.185 |
| Face arrière | - | 0.100 | - |

Résultat des mesures pour le WCDMA900 (Valeurs DAS moyennées dans 10g) :

| Position d'essai | DAS 10g (W/kg) | | |
|------------------------------------|-------------------------|-------------------------|-------------------------|
| RMC 12.2kbps A 1.5cm du fantôme | Canal 2712 882.4 MHz | Canal 2788 897.6 MHz | Canal 2863 912.6 MHz |
| Face avant | - | 0.144 | - |
| Face arrière | 0.222 | 0.239 | 0.221 |

Résultat des mesures pour le WCDMA2100 (Valeurs DAS moyennées dans 10g) :

| Position d'essai | DAS 10g (W/kg) | | |
|------------------------------------|--------------------------|--------------------------|--------------------------|
| RMC 12.2kbps A 1.5cm du fantôme | Canal 9612 1922.4 MHz | Canal 9750 1950.0 MHz | Canal 9888 1977.6 MHz |
| Face avant | - | 0.158 | - |
| Face arrière | 0.168 | 0.184 | 0.202 |

Résultat des mesures pour le LTE800 (Valeurs DAS moyennées dans 10g) :

| Position d'essai | DAS 10g (W/kg) | | |
|------------------------------------|--------------------------|--------------------------|--------------------------|
| BW 5MHz, 8RB A 1.5cm du fantôme | Canal 24175 834.5 MHz | Canal 24300 847.0 MHz | Canal 24425 859.5 MHz |
| Face avant | - | 0.119 | - |
| Face arrière | 0.128 | 0.160 | 0.178 |

Résultat des mesures pour le LTE1800 (Valeurs DAS moyennées dans 10g) :

| Position d'essai | DAS 10g (W/kg) | | |
|--------------------------------------|---------------------------|---------------------------|---------------------------|
| BW 1.4MHz, 5RB A 1.5cm du fantôme | Canal 19207 1710.7 MHz | Canal 19575 1747.5 MHz | Canal 19943 1784.3 MHz |
| Face avant | - | 0.117 | - |
| Face arrière | 0.0802 | 0.129 | 0.175 |

Résultat des mesures pour le LTE2600 (Valeurs DAS moyennées dans 10g) :

| Position d'essai | DAS 10g (W/kg) | | |
|-------------------------------------|---------------------------|---------------------------|---------------------------|
| BW 20MHz, 1RB A 1.5cm du fantôme | Canal 20850 2510.0 MHz | Canal 21100 2535.0 MHz | Canal 21350 2560.0 MHz |
| Face avant | - | 0.107 | - |
| Face arrière | 0.136 | 0.135 | 0.127 |

13.EQUIPEMENTS UTILISES POUR L'ESSAI

| Identifiant Plateforme | N° de compteur Emitech | Catégorie | Marque | Type |
|---------------------------|------------------------|------------------------|-----------------------|--------------------------|
| 1 Simulateur de BTS | 7361 | Testeur radio 2G-3G | Rohde & Schwarz | CMU200 |
| | 7041 | Testeur radio 4G | Rohde & Schwarz | CMW500 |
| 2 DASY4 | 7321 | Logiciel | Speag | DASY4 |
| | 9485 | Sonde de champ E | Speag | ES3DV3 |
| | 7192 | Acquisition de données | Speag | DAE3 |
| | 7204 | Fantôme | Speag | SAM |
| | 7324 | Fantôme | Speag | ELI4 |
| 3 Mesure du liquide | - | Logiciel | Hewlett-Packard | HP85070C |
| | 1402 | Analyseur de réseau | Hewlett-Packard | HP8753C |
| | 7218 | Sonde diélectrique | Hewlett-Packard | HP85070C |
| | 6980 | Thermomètre | Testo | 922 |
| 4 Vérification du système | 7215 | Générateur de signal | Marconi | 2024 |
| | 7014 | Générateur de signal | Rohde & Schwarz | SMP22 |
| | 7209 | Amplificateur | Mini-circuits | ZHL42 |
| | 7214 | Alimentation | Kikusui | PMC18-2 |
| | 7212 | Wattmètre | Rohde & Schwarz | NRVS |
| | 7211 | Sonde wattmètre | Rohde & Schwarz | NRV-Z31 |
| | 7208 | Coupleur | Suhner | 3877 |
| | 7210 | Coupleur | MEB | RK100 |
| | 7213 | Atténuateur | Weinschel Engineering | 33-3-34 |
| | 7315 | Atténuateur | Radiall | R411810124 R411806124 |
| | 7313 | Charge 50 Ohms | Radiall | R404563000 |
| | 7198 | Dipôle 835MHz | Speag | D835V2 |
| | 7194 | Dipôle 900MHz | Speag | D900V2 |
| | 7193 | Dipôle 1800MHz | Speag | D1800V2 |
| | 7323 | Dipôle 1950MHz | Speag | D1950V3 |
| 7337 | Dipôle 2600MHz | MVG | SID2600 | |

□□□ Fin du rapport, 3 annexes à suivre □□□

ANNEXE A : VERIFICATION DU SYSTEME : CONDITIONS D'ESSAIS & RESULTATS

DUT: Dipole 835 MHz

Communication System: CW; Frequency: 835 MHz; Duty Cycle: 1:1
 Medium parameters used: $\sigma = 0.874$ mho/m, $\epsilon_r = 40.4$; $\rho = 1000$ kg/m³
 Phantom section: Flat Section

Program Notes: Ambient temperature: 21.5°C, Liquid temperature: 18.6°C

DASY4 Configuration:

- Probe: ES3DV3 - SN3303; ConvF(6.37, 6.37, 6.37); Calibrated: 8/23/2016
- Sensor-Surface: 3mm (Mechanical Surface Detection)
- Electronics: DAE3 Sn402; Calibrated: 8/9/2016
- Phantom: SAM 12; Type: QD; Serial: TP-1111
- Measurement SW: DASY4, V4.5 Build 19; Postprocessing SW: SEMCAD, V1.8 Build 145

d=15mm, Pin=250mW/Area Scan (61x81x1): Measurement grid: dx=15mm, dy=15mm
 Maximum value of SAR (interpolated) = 2.70 mW/g

d=15mm, Pin=250mW/Zoom Scan (7x7x7) (7x7x7)/Cube 0: Measurement grid: dx=5mm, dy=5mm, dz=5mm
 Reference Value = 53.4 V/m; Power Drift = -0.032 dB
 Peak SAR (extrapolated) = 3.49 W/kg

SAR(10 g) = 1.5 mW/g

Maximum value of SAR (measured) = 2.71 mW/g

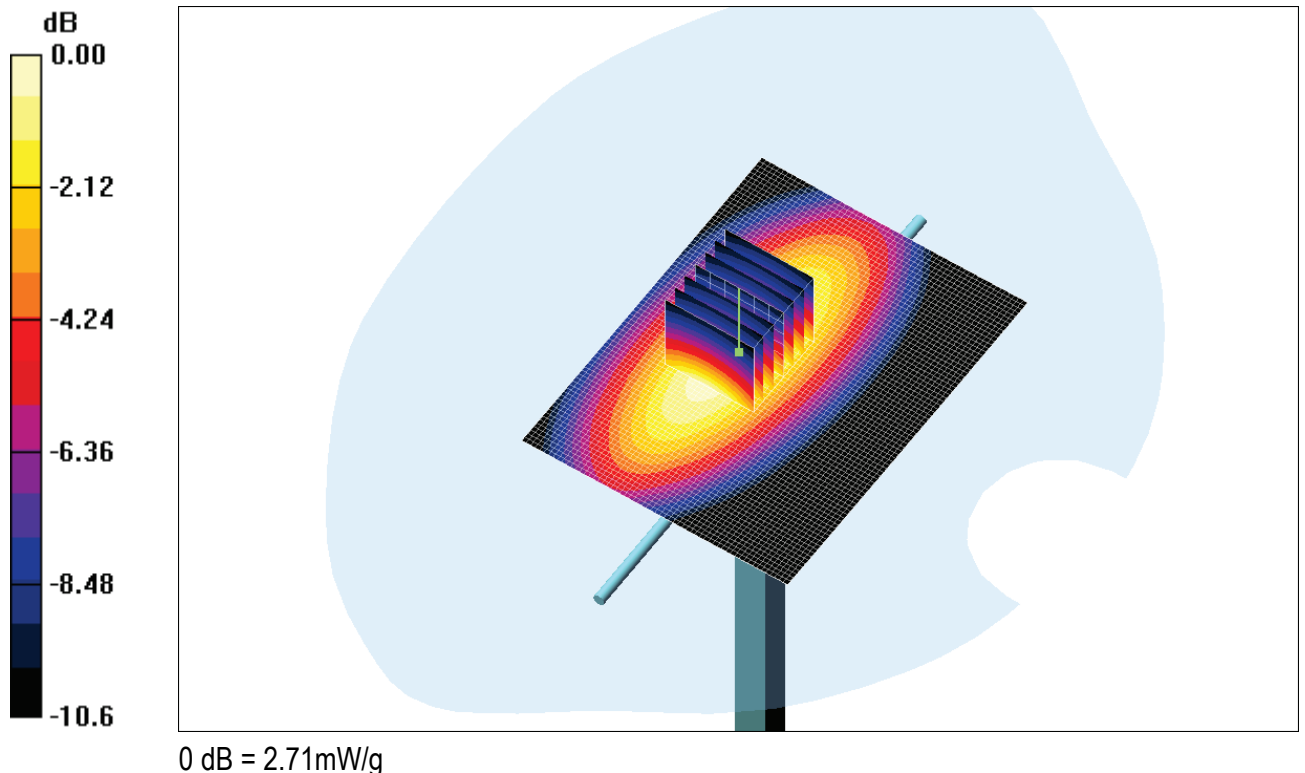


Fig. 3: Résultat de la vérification à 835MHz

DUT: Dipole 900 MHz

Communication System: CW; Frequency: 900 MHz; Duty Cycle: 1:1
 Medium parameters used: $\sigma = 0.96$ mho/m, $\epsilon_r = 40.7$; $\rho = 1000$ kg/m³
 Phantom section: Flat Section

Program Notes: Ambient temperature: 22.6°C, Liquid temperature: 20.2°C

DASY4 Configuration:

- Probe: ES3DV3 - SN3303; ConvF(6.37, 6.37, 6.37); Calibrated: 8/23/2016
- Sensor-Surface: 3mm (Mechanical Surface Detection)
- Electronics: DAE3 Sn402; Calibrated: 8/9/2016
- Phantom: SAM 12; Type: QD; Serial: TP-1111
- Measurement SW: DASY4, V4.5 Build 19; Postprocessing SW: SEMCAD, V1.8 Build 145

d=15mm, Pin=250mW/Area Scan (61x81x1): Measurement grid: dx=15mm, dy=15mm
 Maximum value of SAR (interpolated) = 3.15 mW/g

d=15mm, Pin=250mW/Zoom Scan (7x7x7) (7x7x7)/Cube 0: Measurement grid: dx=5mm, dy=5mm, dz=5mm
 Reference Value = 54.9 V/m; Power Drift = -0.041 dB
 Peak SAR (extrapolated) = 4.10 W/kg
SAR(10 g) = 1.71 mW/g
 Maximum value of SAR (measured) = 3.16 mW/g

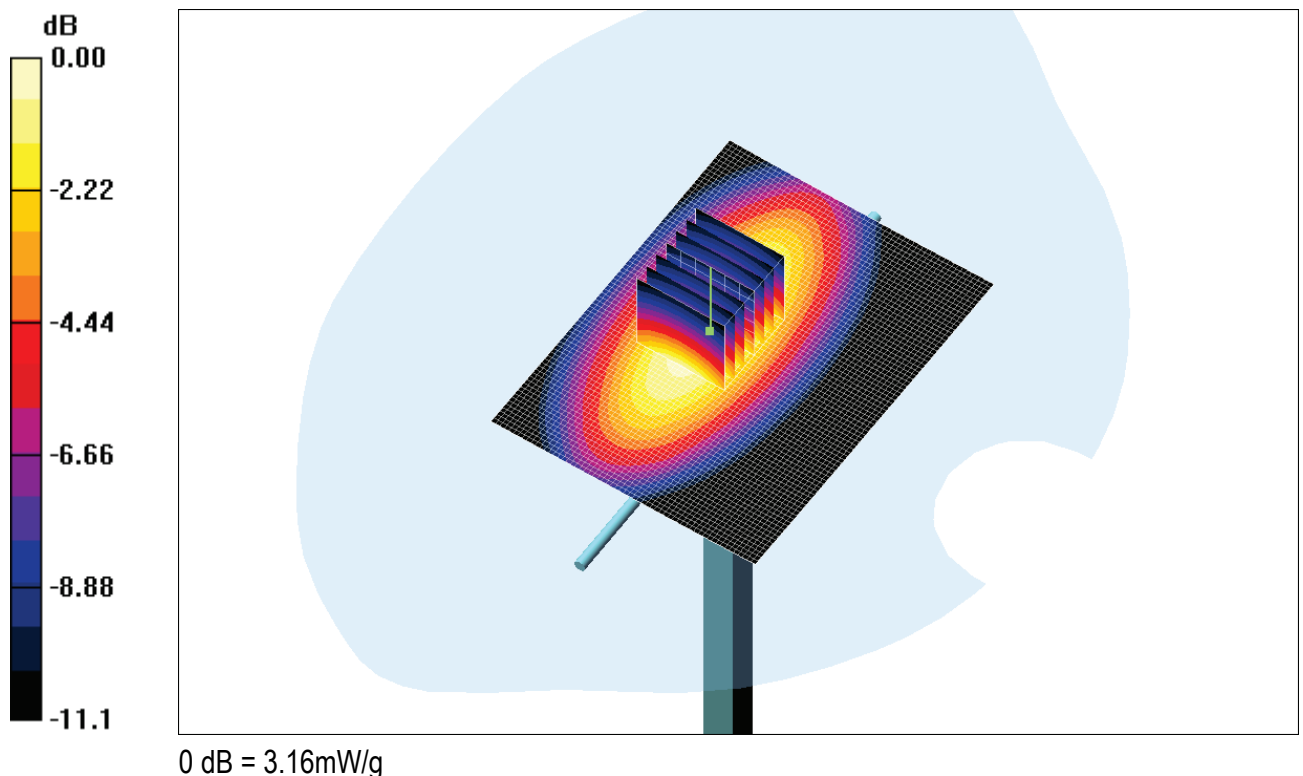


Fig. 4 : Résultat de la vérification à 900MHz

DUT: Dipole 1800 MHz

Communication System: CW; Frequency: 1800 MHz; Duty Cycle: 1:1

Medium parameters used: $\sigma = 1.43$ mho/m, $\epsilon_r = 38$; $\rho = 1000$ kg/m³

Phantom section: Flat Section

Program Notes: Ambient temperature: 21.1°C, Liquid temperature: 20.1°C

DASY4 Configuration:

- Probe: ES3DV3 - SN3303; ConvF(5.35, 5.35, 5.35); Calibrated: 8/23/2016
- Sensor-Surface: 3mm (Mechanical Surface Detection)
- Electronics: DAE3 Sn402; Calibrated: 8/9/2016
- Phantom: SAM 12; Type: QD; Serial: TP-1111
- Measurement SW: DASY4, V4.5 Build 19; Postprocessing SW: SEMCAD, V1.8 Build 145

d=10mm, Pin=250mW/Area Scan (61x61x1): Measurement grid: dx=15mm, dy=15mm

Maximum value of SAR (interpolated) = 12.6 mW/g

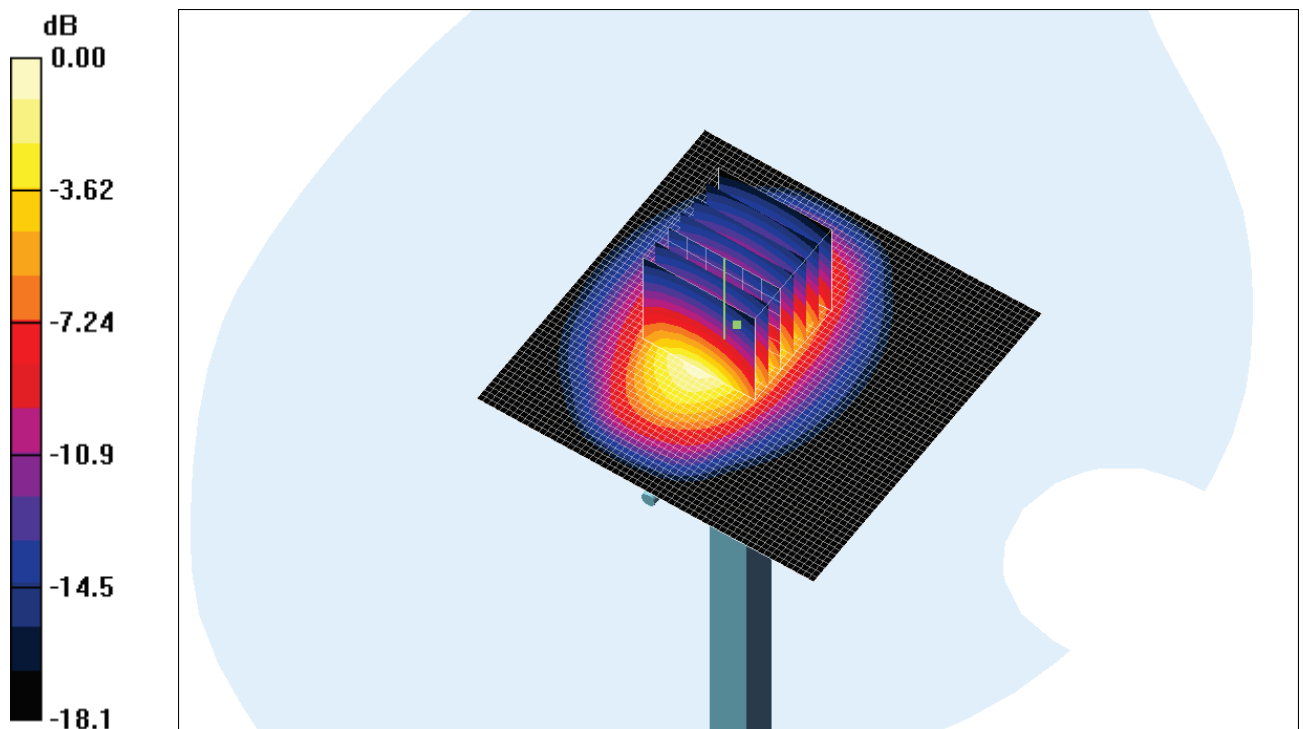
d=10mm, Pin=250mW/Zoom Scan (7x7x7) (7x7x7)/Cube 0: Measurement grid: dx=5mm, dy=5mm, dz=5mm

Reference Value = 89.5 V/m; Power Drift = -0.025 dB

Peak SAR (extrapolated) = 18.2 W/kg

SAR(10 g) = 4.98 mW/g

Maximum value of SAR (measured) = 12.3 mW/g



0 dB = 12.3mW/g

Fig. 5 : Résultat de la vérification à 1800MHz

DUT: Dipole 1950 MHz

Communication System: CW; Frequency: 1950 MHz; Duty Cycle: 1:1
 Medium parameters used: $\sigma = 1.41$ mho/m, $\epsilon_r = 38.3$; $\rho = 1000$ kg/m³
 Phantom section: Flat Section

Program Notes: Ambient temperature: 22.4°C, Liquid temperature: 20.8°C

DASY4 Configuration:

- Probe: ES3DV3 - SN3303; ConvF(5.14, 5.14, 5.14); Calibrated: 8/23/2016
- Sensor-Surface: 3mm (Mechanical Surface Detection)
- Electronics: DAE3 Sn402; Calibrated: 8/9/2016
- Phantom: ELI 4.0; Type: QDOVA001BA
- Measurement SW: DASY4, V4.5 Build 19; Postprocessing SW: SEMCAD, V1.8 Build 145

d=10mm, Pin=250mW/Area Scan (61x61x1): Measurement grid: dx=15mm, dy=15mm
 Maximum value of SAR (interpolated) = 13.4 mW/g

d=10mm, Pin=250mW/Zoom Scan (7x7x7) (7x7x7)/Cube 0: Measurement grid: dx=5mm, dy=5mm, dz=5mm
 Reference Value = 86.7 V/m; Power Drift = -0.020 dB
 Peak SAR (extrapolated) = 19.0 W/kg
SAR(10 g) = 5.18 mW/g
 Maximum value of SAR (measured) = 12.9 mW/g

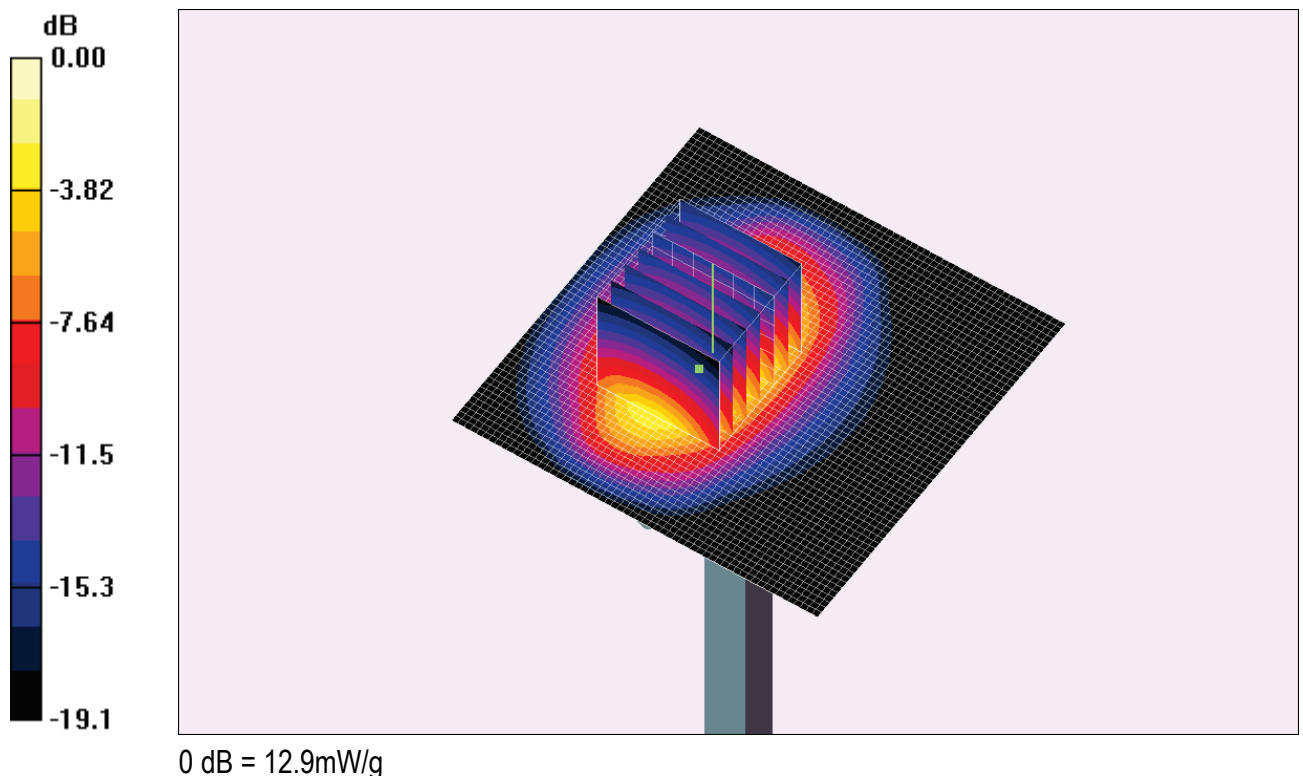


Fig. 6 : Résultat de la vérification à 1950MHz

DUT: Dipole 2600 MHz

Communication System: CW; Frequency: 2600 MHz; Duty Cycle: 1:1
Medium parameters used: $\sigma = 2.03$ mho/m, $\epsilon_r = 37.2$; $\rho = 1000$ kg/m³
Phantom section: Flat Section

Program Notes: Ambient temperature: 21.7°C, Liquid temperature: 20.0°C

DASY4 Configuration:

- Probe: ES3DV3 - SN3303; ConvF(4.55, 4.55, 4.55); Calibrated: 8/23/2016
- Sensor-Surface: 3mm (Mechanical Surface Detection)
- Electronics: DAE3 Sn402; Calibrated: 8/9/2016
- Phantom: SAM 12; Type: QD; Serial: TP-1111
- Measurement SW: DASY4, V4.5 Build 19; Postprocessing SW: SEMCAD, V1.8 Build 145

d=10mm, Pin=250mW/Area Scan (61x61x1): Measurement grid: dx=15mm, dy=15mm
Maximum value of SAR (interpolated) = 20.2 mW/g

d=10mm, Pin=250mW/Zoom Scan (7x7x7) (7x7x7)/Cube 0: Measurement grid: dx=5mm, dy=5mm, dz=5mm
Reference Value = 77.7 V/m; Power Drift = -0.045 dB
Peak SAR (extrapolated) = 31.5 W/kg
SAR(10 g) = 6.19 mW/g
Maximum value of SAR (measured) = 18.8 mW/g

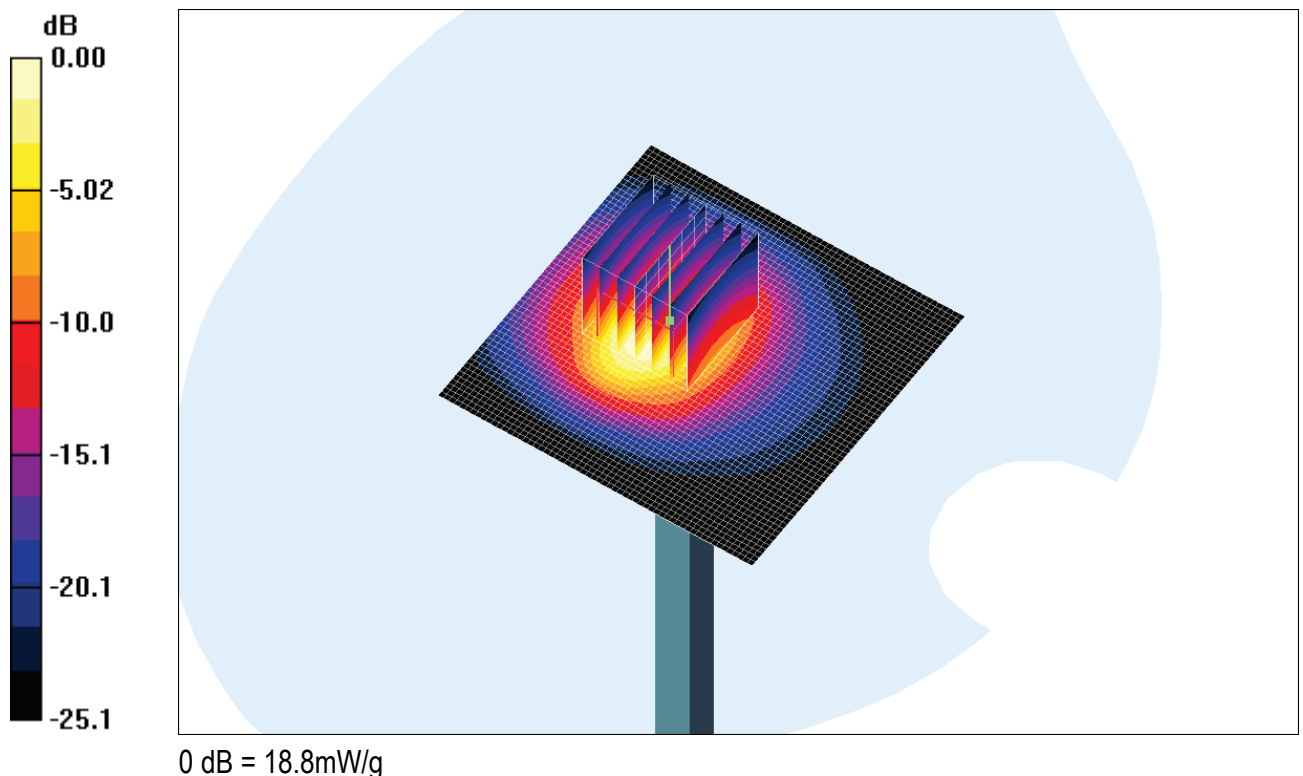


Fig. 7 : Résultat de la vérification à 2600MHz

ANNEXE B : REPRESENTATIONS GRAPHIQUES DU BALAYAGE

Les représentations graphiques du balayage par rapport à la position de l'équipement et du fantôme sont montrées ci-après :

DUT: SONY XPERIA XA ULTRA

Communication System: E-GSM 900; Frequency: 897.6 MHz; Duty Cycle: 1:2.07

 Medium parameters used: $\sigma = 0.96$ mho/m, $\epsilon_r = 40.7$; $\rho = 1000$ kg/m³

Phantom section: Flat Section

Program Notes: Ambient temperature: 23.6°C, Liquid temperature: 21.1°C

DASY4 Configuration:

- Probe: ES3DV3 - SN3303; ConvF(6.37, 6.37, 6.37); Calibrated: 8/23/2016
- Sensor-Surface: 3mm (Mechanical Surface Detection)
- Electronics: DAE3 Sn402; Calibrated: 8/9/2016
- Phantom: SAM 12; Type: QD; Serial: TP-1111
- Measurement SW: DASY4, V4.5 Build 19; Postprocessing SW: SEMCAD, V1.8 Build 145

Position 1.5cm, Middle channel/Area Scan (51x101x1): Measurement grid: dx=20mm, dy=20mm

Maximum value of SAR (interpolated) = 0.547 mW/g

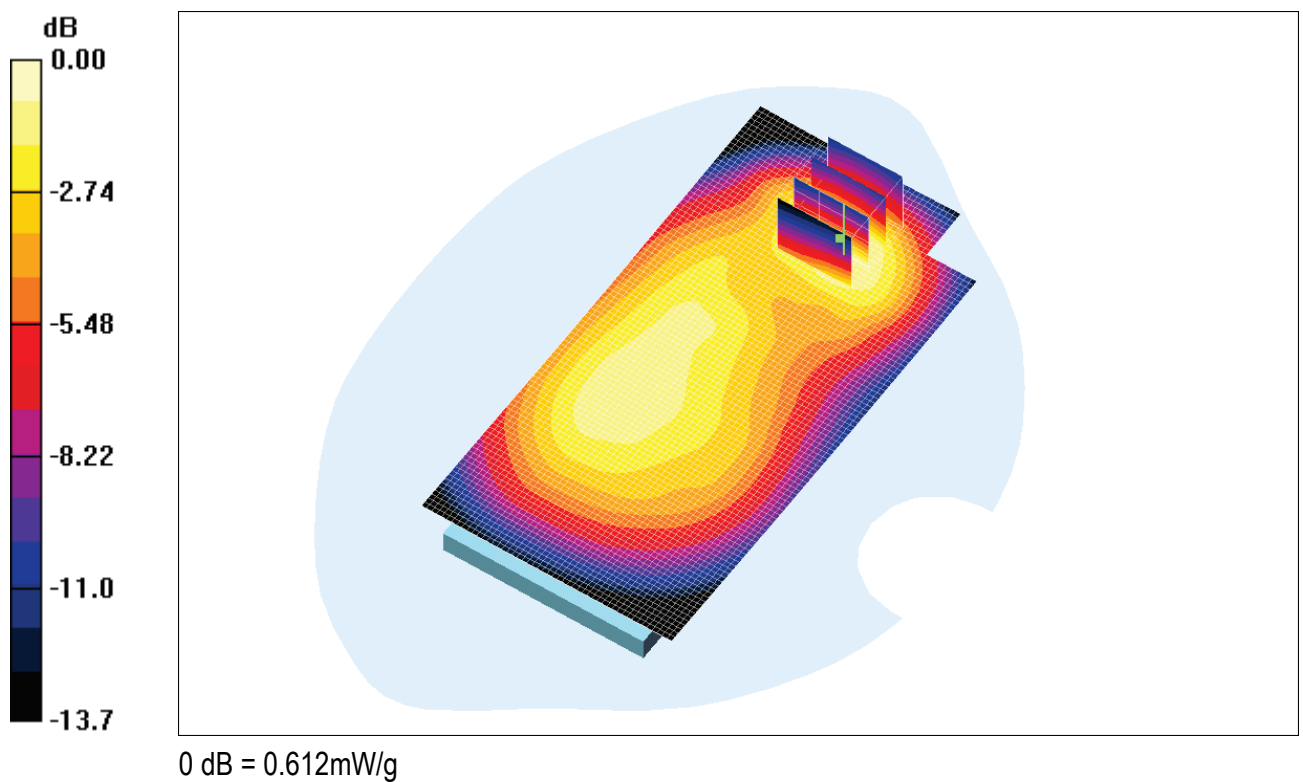
Position 1.5cm, Middle channel/Zoom Scan (7x7x7) (4x4x5)/Cube 0: Measurement grid: dx=10mm, dy=10mm, dz=7mm

Reference Value = 20.8 V/m; Power Drift = 0.035 dB

Peak SAR (extrapolated) = 0.899 W/kg

SAR(10 g) = 0.321 mW/g

Maximum value of SAR (measured) = 0.612 mW/g


Fig. 8 : Distribution du DAS en GSM-GPRS 900: canal 038 (897.6 MHz) face arrière à 1.5cm du fantôme

DUT: SONY XPERIA XA ULTRA

Communication System: GSM 1800; Frequency: 1784.8 MHz; Duty Cycle: 1:2.07

Medium parameters used: $\sigma = 1.41$ mho/m, $\epsilon_r = 38.1$; $\rho = 1000$ kg/m³

Phantom section: Flat Section

Program Notes: Ambient temperature: 21.7°C, Liquid temperature: 20.2°C

DASY4 Configuration:

- Probe: ES3DV3 - SN3303; ConvF(5.35, 5.35, 5.35); Calibrated: 8/23/2016
- Sensor-Surface: 3mm (Mechanical Surface Detection)
- Electronics: DAE3 Sn402; Calibrated: 8/9/2016
- Phantom: SAM 12; Type: QD; Serial: TP-1111
- Measurement SW: DASY4, V4.5 Build 19; Postprocessing SW: SEMCAD, V1.8 Build 145

Position 1.5cm, High channel/Area Scan (51x81x1): Measurement grid: dx=20mm, dy=20mm

Maximum value of SAR (interpolated) = 0.318 mW/g

Position 1.5cm, High channel/Zoom Scan (7x7x7) (4x4x5)/Cube 0: Measurement grid: dx=10mm, dy=10mm, dz=7mm

Reference Value = 9.15 V/m; Power Drift = -0.025 dB

Peak SAR (extrapolated) = 0.535 W/kg

SAR(10 g) = 0.185 mW/g

Maximum value of SAR (measured) = 0.384 mW/g

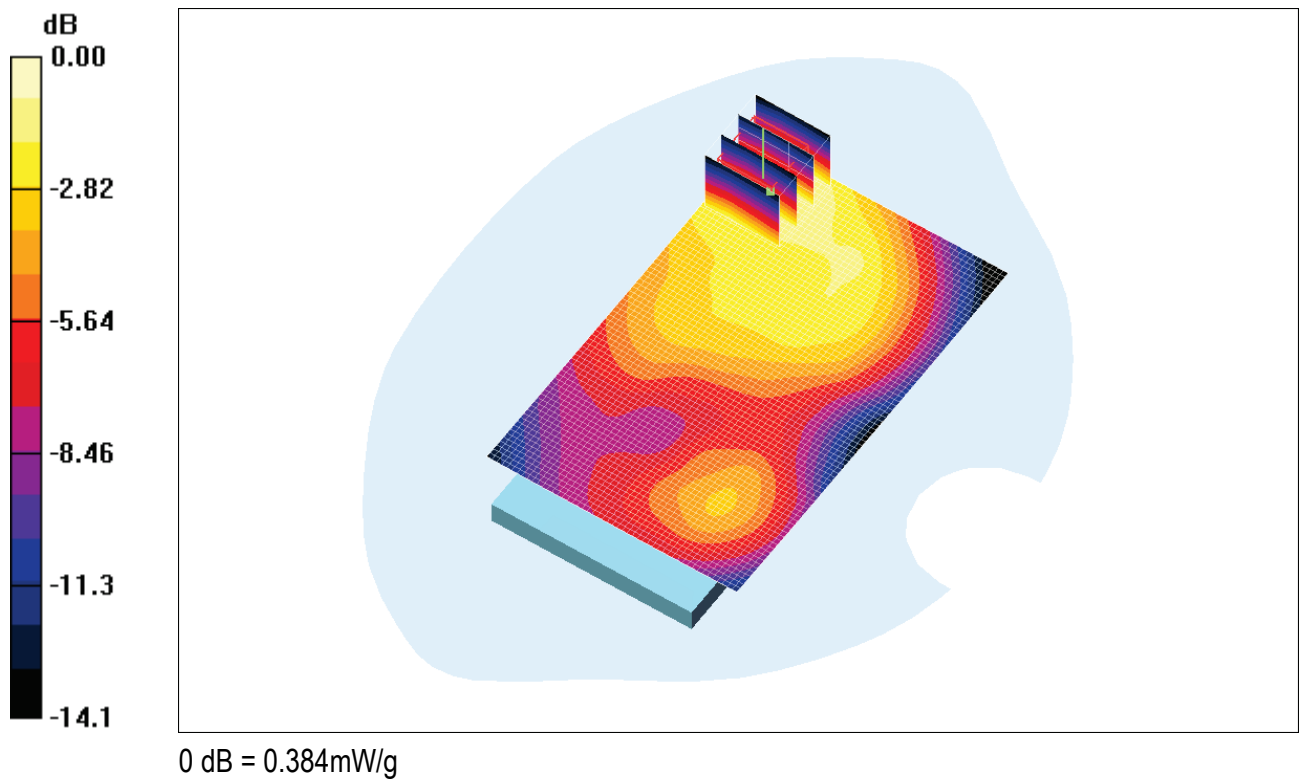


Fig. 9 : Distribution du DAS en GSM-GPRS 1800: canal 885 (1784.8 MHz) face avant à 1.5cm du fantôme

DUT: SONY XPERIA XA ULTRA

Communication System: WCDMA 900; Frequency: 897.6 MHz; Duty Cycle: 1:1
 Medium parameters used: $\sigma = 0.96$ mho/m, $\epsilon_r = 40.7$; $\rho = 1000$ kg/m³
 Phantom section: Flat Section

Program Notes: Ambient temperature: 23.4°C, Liquid temperature: 21.2°C

DASY4 Configuration:

- Probe: ES3DV3 - SN3303; ConvF(6.37, 6.37, 6.37); Calibrated: 8/23/2016
- Sensor-Surface: 3mm (Mechanical Surface Detection)
- Electronics: DAE3 Sn402; Calibrated: 8/9/2016
- Phantom: SAM 12; Type: QD; Serial: TP-1111
- Measurement SW: DASY4, V4.5 Build 19; Postprocessing SW: SEMCAD, V1.8 Build 145

Position 1.5cm, Middle channel/Area Scan (51x101x1): Measurement grid: dx=20mm, dy=20mm
 Maximum value of SAR (interpolated) = 0.436 mW/g

Position 1.5cm, Middle channel/Zoom Scan (7x7x7) (4x4x5)/Cube 0: Measurement grid: dx=10mm, dy=10mm, dz=7mm

Reference Value = 15.6 V/m; Power Drift = -0.127 dB

Peak SAR (extrapolated) = 0.682 W/kg

SAR(10 g) = 0.239 mW/g

Maximum value of SAR (measured) = 0.476 mW/g

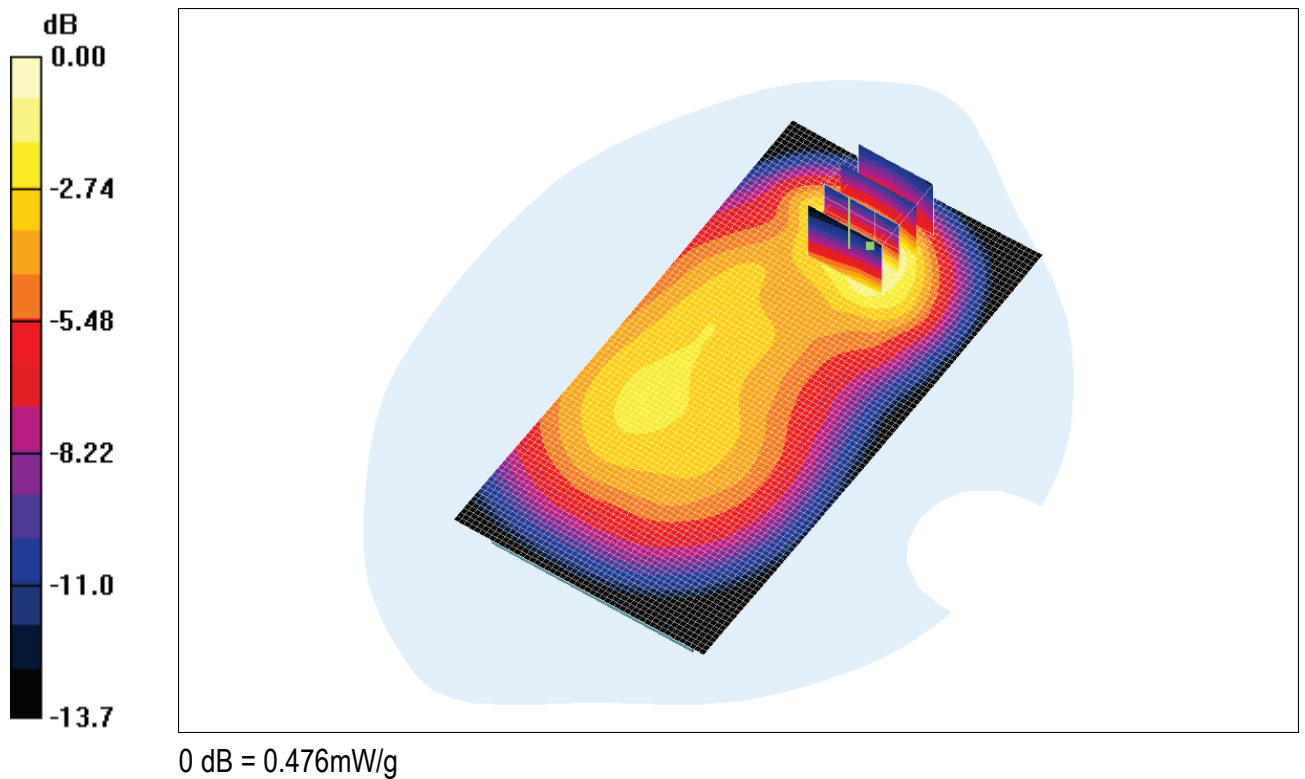


Fig. 10 : Distribution du DAS en WCDMA 900: canal 2788 (897.6 MHz) face arrière à 1.5cm du fantôme

DUT: SONY XPERIA XA ULTRA

Communication System: WCDMA 2100; Frequency: 1977.6 MHz; Duty Cycle: 1:1

Medium parameters used: $\sigma = 1.42$ mho/m, $\epsilon_r = 38.2$; $\rho = 1000$ kg/m³

Phantom section: Flat Section

Program Notes: Ambient temperature: 22.9°C, Liquid temperature: 21.1°C

DASY4 Configuration:

- Probe: ES3DV3 - SN3303; ConvF(5.14, 5.14, 5.14); Calibrated: 8/23/2016
- Sensor-Surface: 3mm (Mechanical Surface Detection)
- Electronics: DAE3 Sn402; Calibrated: 8/9/2016
- Phantom: ELI 4.0; Type: QDOVA001BA
- Measurement SW: DASY4, V4.5 Build 19; Postprocessing SW: SEMCAD, V1.8 Build 145

Position 1.5cm, High channel/Area Scan (51x101x1): Measurement grid: dx=20mm, dy=20mm

Maximum value of SAR (interpolated) = 0.418 mW/g

Position 1.5cm, High channel/Zoom Scan (7x7x7) (4x4x5)/Cube 0: Measurement grid: dx=10mm, dy=10mm, dz=7mm

Reference Value = 9.34 V/m; Power Drift = -0.028 dB

Peak SAR (extrapolated) = 0.635 W/kg

SAR(10 g) = 0.202 mW/g

Maximum value of SAR (measured) = 0.420 mW/g

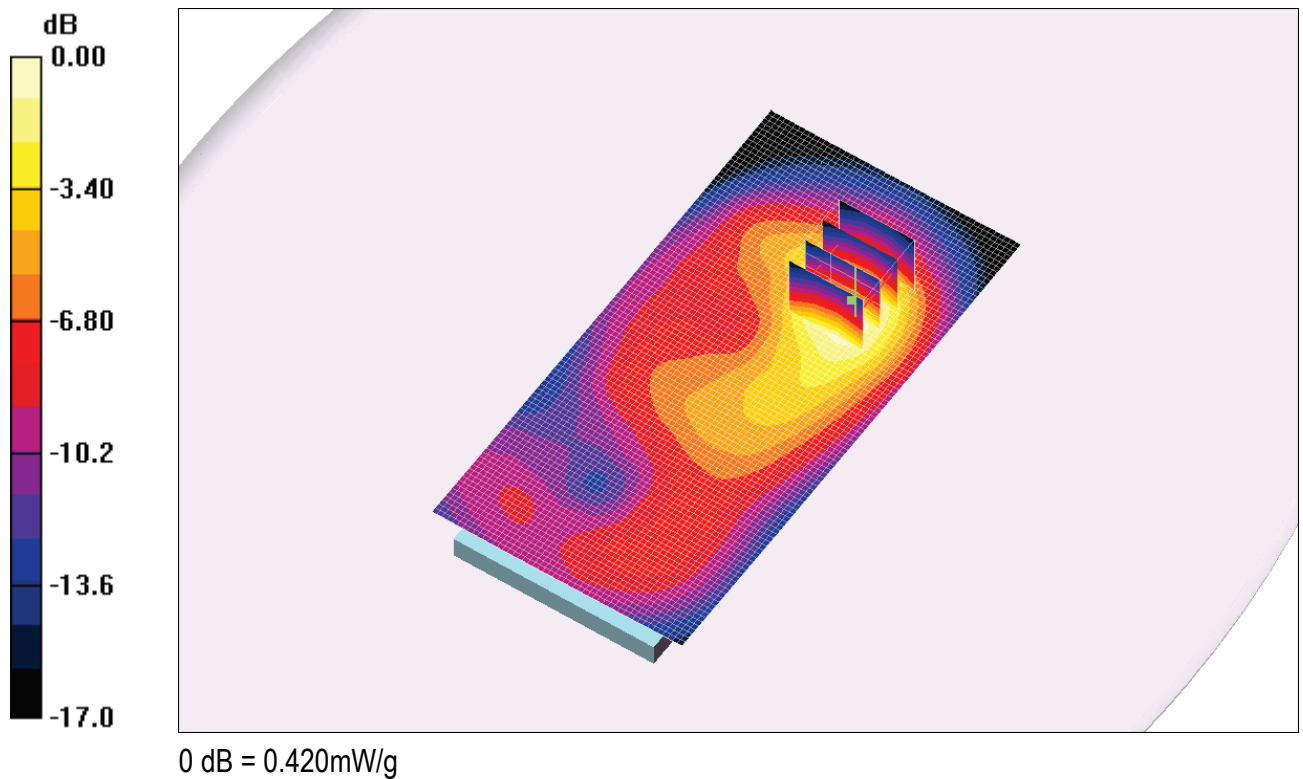


Fig. 11 : Distribution du DAS en WCDMA 2100: canal 9888 (1977.6 MHz) face arrière à 1.5cm du fantôme

DUT: SONY XPERIA XA ULTRA

Communication System: LTE Band 20 BW5MHz; Frequency: 859.5 MHz; Duty Cycle: 1:1
 Medium parameters used: $\sigma = 0.89$ mho/m, $\epsilon_r = 40$; $\rho = 1000$ kg/m³
 Phantom section: Flat Section

Program Notes: Ambient temperature: 21.8°C, Liquid temperature: 18.6°C

DASY4 Configuration:

- Probe: ES3DV3 - SN3303; ConvF(6.37, 6.37, 6.37); Calibrated: 8/23/2016
- Sensor-Surface: 3mm (Mechanical Surface Detection)
- Electronics: DAE3 Sn402; Calibrated: 8/9/2016
- Phantom: SAM 12; Type: QD; Serial: TP-1111
- Measurement SW: DASY4, V4.5 Build 19; Postprocessing SW: SEMCAD, V1.8 Build 145

Position 1.5cm, High channel/Area Scan (51x101x1): Measurement grid: dx=20mm, dy=20mm
 Maximum value of SAR (interpolated) = 0.338 mW/g

Position 1.5cm, High channel/Zoom Scan (7x7x7) (4x4x5)/Cube 0: Measurement grid: dx=10mm, dy=10mm, dz=7mm

Reference Value = 15.8 V/m; Power Drift = 0.01 dB

Peak SAR (extrapolated) = 0.510 W/kg

SAR(10 g) = 0.178 mW/g

Maximum value of SAR (measured) = 0.350 mW/g

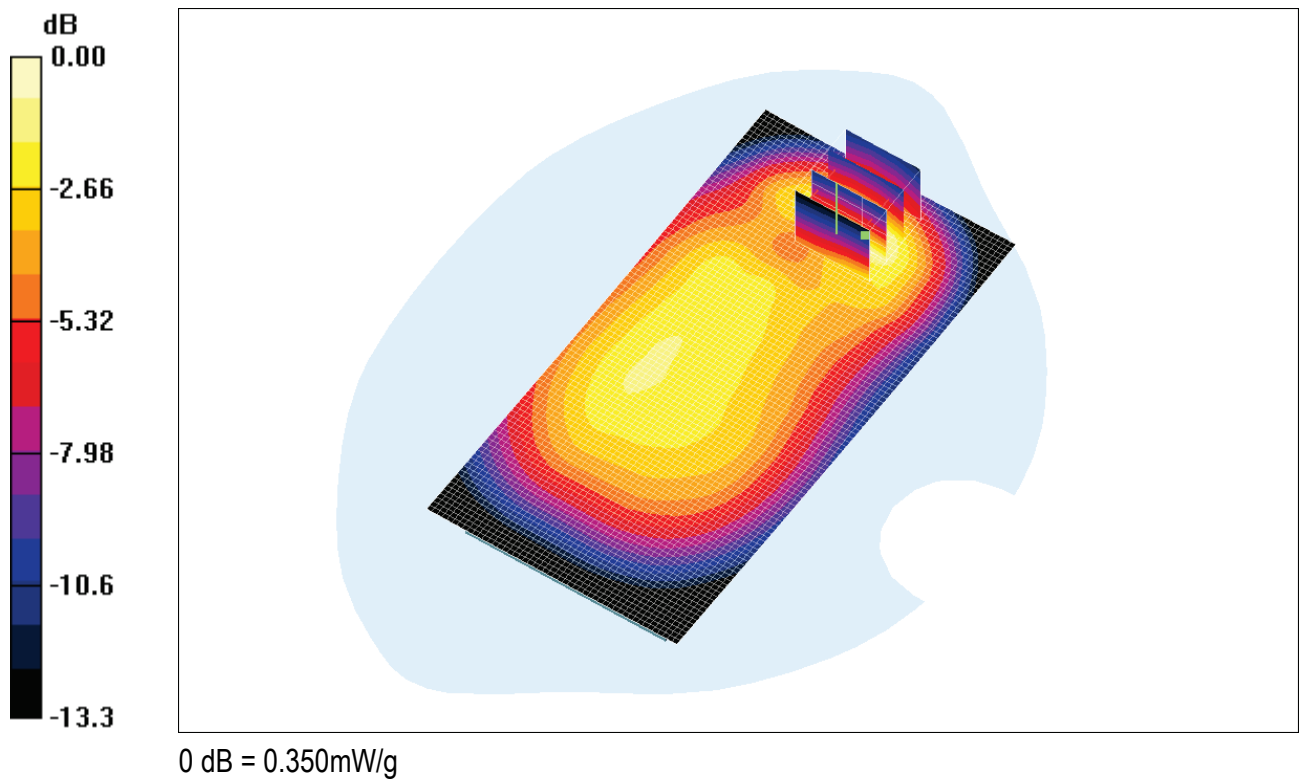


Fig. 12 : Distribution du DAS en LTE 800: canal 24425 (859.5 MHz) face arrière à 1.5cm du fantôme

DUT: SONY XPERIA XA ULTRA

Communication System: LTE Band 3 BW1.4MHz; Frequency: 1784.3 MHz; Duty Cycle: 1:1

 Medium parameters used: $\sigma = 1.41$ mho/m, $\epsilon_r = 38.1$; $\rho = 1000$ kg/m³

Phantom section: Flat Section

Program Notes: Ambient temperature: 21.6°C, Liquid temperature: 20.5°C

DASY4 Configuration:

- Probe: ES3DV3 - SN3303; ConvF(5.35, 5.35, 5.35); Calibrated: 8/23/2016
- Sensor-Surface: 3mm (Mechanical Surface Detection)
- Electronics: DAE3 Sn402; Calibrated: 8/9/2016
- Phantom: SAM 12; Type: QD; Serial: TP-1111
- Measurement SW: DASY4, V4.5 Build 19; Postprocessing SW: SEMCAD, V1.8 Build 145

Position 1.5cm, High channel/Area Scan (51x91x1): Measurement grid: dx=20mm, dy=20mm

Maximum value of SAR (interpolated) = 0.383 mW/g

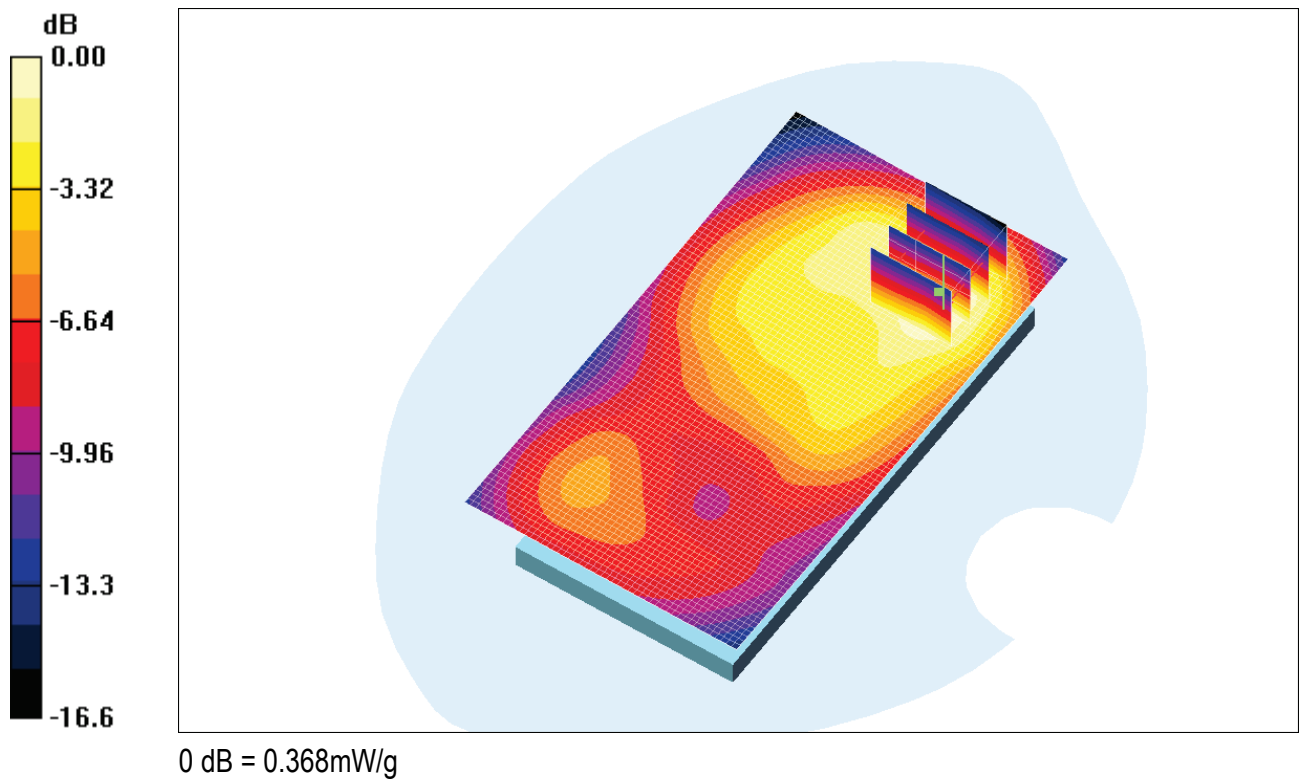
Position 1.5cm, High channel/Zoom Scan (7x7x7) (4x4x5)/Cube 0: Measurement grid: dx=10mm, dy=10mm, dz=7mm

Reference Value = 10.1 V/m; Power Drift = -0.063 dB

Peak SAR (extrapolated) = 0.532 W/kg

SAR(10 g) = 0.175 mW/g

Maximum value of SAR (measured) = 0.368 mW/g


Fig. 13 : Distribution du DAS en LTE 1800: canal 19943 (1784.3MHz) face arrière à 1.5cm du fantôme

DUT: SONY XPERIA XA ULTRA

Communication System: LTE Band 7 BW20MHz; Frequency: 2510 MHz; Duty Cycle: 1:1

Medium parameters used: $\sigma = 1.93$ mho/m, $\epsilon_r = 37.5$; $\rho = 1000$ kg/m³

Phantom section: Flat Section

Program Notes: Ambient temperature: 22.1°C, Liquid temperature: 20.2°C

DASY4 Configuration:

- Probe: ES3DV3 - SN3303; ConvF(4.55, 4.55, 4.55); Calibrated: 8/23/2016
- Sensor-Surface: 3mm (Mechanical Surface Detection)
- Electronics: DAE3 Sn402; Calibrated: 8/9/2016
- Phantom: SAM 12; Type: QD; Serial: TP-1111
- Measurement SW: DASY4, V4.5 Build 19; Postprocessing SW: SEMCAD, V1.8 Build 145

Position 1.5cm, Low channel/Area Scan (51x91x1): Measurement grid: dx=20mm, dy=20mm

Maximum value of SAR (interpolated) = 0.308 mW/g

Position 1.5cm, Low channel/Zoom Scan (7x7x7) (4x4x5)/Cube 0: Measurement grid: dx=10mm, dy=10mm, dz=7mm

Reference Value = 3.74 V/m; Power Drift = 0.00 dB

Peak SAR (extrapolated) = 0.501 W/kg

SAR(10 g) = 0.136 mW/g

Maximum value of SAR (measured) = 0.322 mW/g

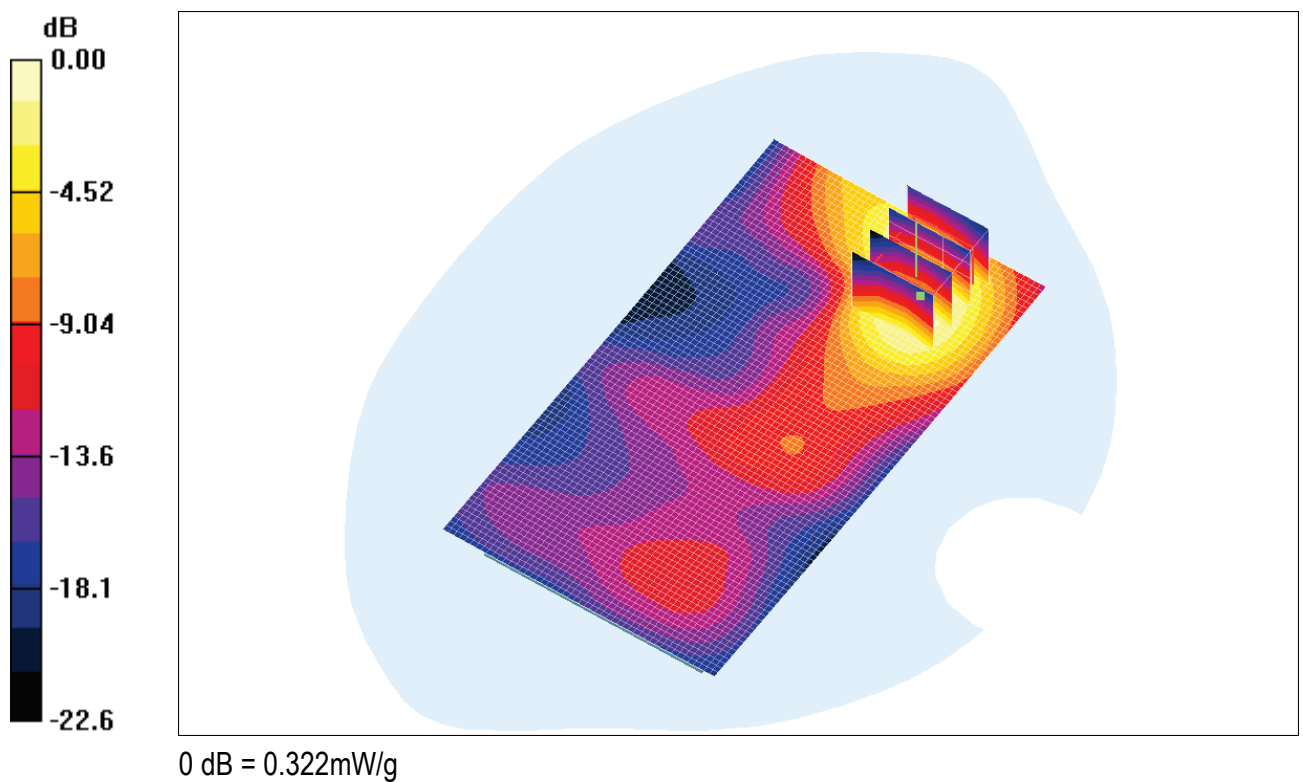


Fig. 14 : Distribution du DAS en LTE 2600: canal 20850 (2510.0 MHz) face arrière à 1.5cm du fantôme

ANNEXE C PHOTOGRAPHIES DE L'EQUIPEMENT EN ESSAI

Les photographies de l'équipement en essai sont montrées en Fig. 15 et Fig. 16.

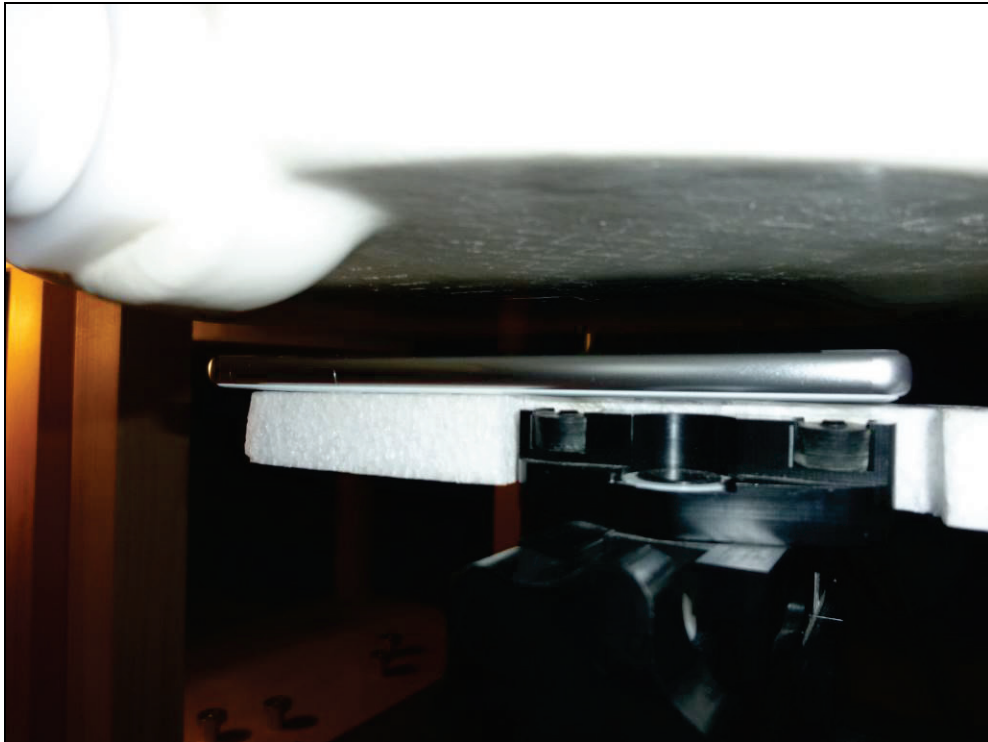


Fig. 15 : Face avant à 1.5cm du fantôme

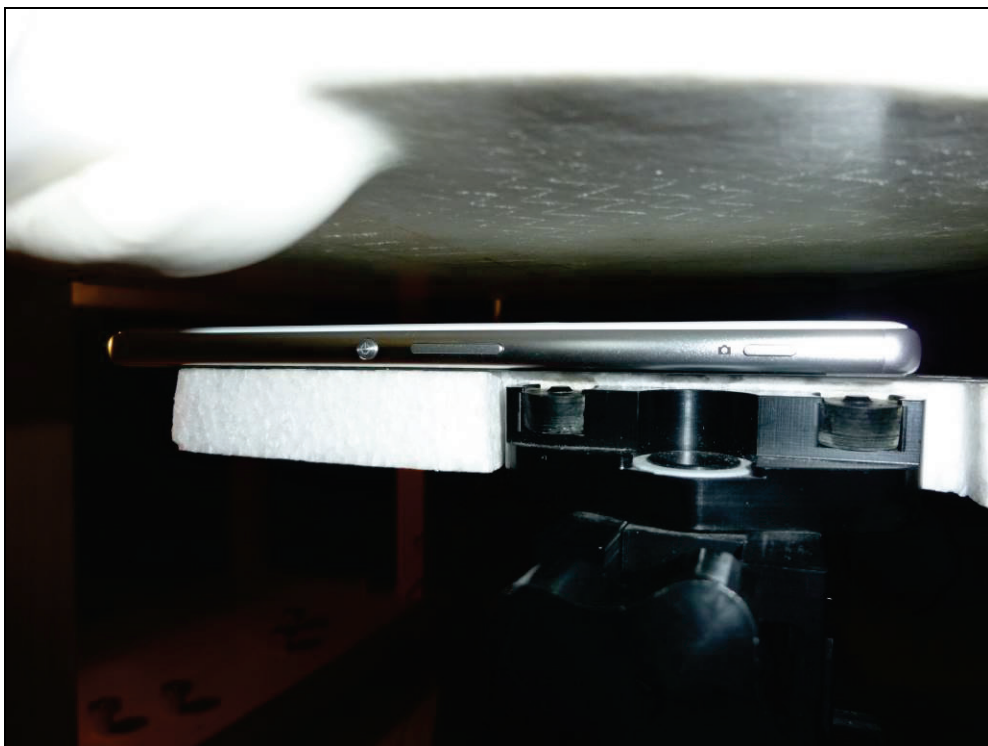


Fig. 16 : Face arrière à 1.5cm du fantôme